

بِسْمِ اللَّهِ الرَّحْمَنِ الرَّحِيمِ



دانشگاه بیرجند
دانشکده علوم
گروه فیزیک

پایان نامه کارشناسی ارشد فیزیک

گرایش حالت جامد

عنوان:

بررسی خواص فیزیکی، ساختاری بلوری و خواص

مغناطیسی آلیاژ $\text{Ni}_{43}\text{Mn}_{41}\text{Co}_5\text{Sn}_{11}$

استاد راهنما:

دکتر هادی عربی

استاد مشاور:

پروفسور فائز پورآرین

نگارش:

زهرا پروانه

دی ماه ۱۳۹۰

سپاسگزاری

سپاس خداوندی را که بالاتر از همه اندیشه‌هاست.

حمد و سپاس بیکران خداوندی را که بر هر نعمت، حق سپاسی برای بندگان مقرر فرموده است. سپاس فراوان نثار خانواده عزیزم که همواره تکیه‌گاه من بودند و دعای خیر آنها راهگشای تمام مشکلاتم بود.

از همسر عزیزم که صبورانه همراه و یاور من بودند کمال تشکر و قدردانی را دارم. از استاد راهنمای محترم، جناب آقای دکتر هادی عربی که همواره از رهنمودهای ارزنده ایشان بهره‌من بوده‌ام، نهایت سپاس‌گزاری را دارم.

از جناب آقای پروفیسور پورآرین که از راه دور از راهنمایی‌های ارزنده‌شان بهره‌مند بودم نیز تشکر می‌کنم. از اساتید گرانقدر، جناب آقای دکتر امیرآبادیزاده و سرکار خانم دکتر صادقی که زحمت بازخوانی و داوری این پایان‌نامه را به عهده گرفتند و جناب آقای دکتر محمدنژاد نماینده تحصیلات تکمیلی، تشکر و قدردانی می‌کنم.

از تمام دوستان و همکلاسی‌های عزیزم به پاس همدلی و همراهیشان کمال تشکر و قدردانی را دارم. به-خصوص آقایان سرحدی و زارعی و خانم‌ها کاظم‌زاده، سبزی‌نژاد، جمشیدی و گنجعلی تشکر و قدردانی می‌کنم.

تقدیم به

او که جهان در انتظارش است.

پیشکش به پدر عزیزم که

سنگ صبور سستی‌هایم بوده است.

و مادر مهربانم که خالصانه‌ترین

عشق را بدرقه راه زندگی‌ام کرد.

و تقدیم به نیمه وجودم، همسر عزیزم،

که تکیه‌گاه امن زندگی من بوده است.

چکیده

آلیاژهای حافظه‌دار شکلی به دلیل خواص گوناگونی نظیر سوپراالاستیسیته مغناطیسی، مگنتو مقاومت بزرگ، اثر مگنتوکالریک معکوس و اثر حافظه‌داری شکلی توجه زیادی را جلب کرده‌اند. در این پژوهش خواص ساختاری و مغناطیسی آلیاژ حافظه‌دار $\text{Ni}_{43}\text{Mn}_{41}\text{Co}_5\text{Sn}_{11}$ مورد بررسی قرار گرفته است. این آلیاژ به عنوان نوعی آلیاژ هسلر شناخته می‌شود که انتقال فاز از آستنیت با ساختار مکعبی L_{21} به فاز مارتنزیت با ساختار اورتورومبیک یا تتراگونال در دمای پایین را تحمل می‌کند. با گرفتن مقاومت از نمونه، طی فرایندهای گرمایشی و سرمایشی دماهای شروع و پایان فازهای مارتنزیت و آستنیت مشخص شد و با استفاده از پراش اشعه ایکس ثابت شبکه آلیاژ $1267/06$ آنگستروم به دست آمده است و با اندازه‌گیری منحنی M بر حسب H در دمای اتاق متوجه رفتار فرومغناطیسی آن در فاز آستنیت شدیم. این آلیاژ در دمایی پایین‌تر از دمای بحرانی فاز مارتنزیت، دارای رفتار شیشه‌سوپراسپینی است. همچنین مشاهده شد که این آلیاژ در دمای انتقال با کاهش 53 درصدی مقاومت، روبرو می‌شود.

فهرست مطالب

فصل اول: آلیاژهای حافظه‌دار شکلی

۱-۱	مقدمه	أ
۲-۱	آلیاژهای هسلر	۲
۱-۲-۱	هسلر کامل	۵
۲-۲-۱	نیمه هسلر	۵
۳-۱	مواد هوشمند	۸
۴-۱	تعریف آلیاژهای حافظه‌دار شکلی یا SMA	۹
۵-۱	سیر تحول آلیاژهای حافظه‌دار	۱۰
۱-۵-۱	پلیمرهای حافظه‌دار شکلی	۱۱
۱-۵-۲	فرو مغناطیسی	۱۲
۶-۱	فازها	۱۲
۱-۶-۱	فاز مارتنزیت	۱۳
۲-۶-۱	فاز آستنیت	۱۳
۳-۶-۱	فاز R	۱۳
۷-۱	خواص SMA	۱۸
۱-۷-۱	دو نوع حالت حافظه‌دار وجود دارد	۱۹
۲-۷-۱	انعطاف پذیری	۲۰
۳-۷-۱	انحراف تنش و کرنش نسبت به حالت استاندارد	۲۱
۴-۷-۱	خوردگی	۲۱
۵-۷-۱	رسانندگی	۲۱
۸-۱	تقسیم‌بندی مواد حافظه‌دار شکلی	۲۲
۹-۱	ساخت آلیاژها	۲۳
۱۰-۱	اثر حافظه‌دار شکلی (SME)	۲۳

- ۱۱-۱ اثرالاستیک کاذب یا شبه الاستیک ۲۶
- ۱۲-۱ کاربردهای SMA: ۲۹
- ۱-۱۲-۱ کاربرد پزشکی: ۳۰
- ۲-۱۲-۱ کاربرد در صنایع هوا و فضا: ۳۲
- ۲-۱۲-۱ کاربرد در صنایع خودروسازی: ۳۳

فصل دوم: آنالیز مواد

- ۱-۲ آنالیز مواد ۳۵
- ۲-۲ آنالیز میکروسکوپی ۳۵
- ۱-۲-۲ میکروسکوپ الکترونی ۳۵
- ۱-۲-۲-۱ میکروسکوپ الکترون روبشی (SEM) ۳۶
- ۲-۲-۲ میکروسکوپ پروب روبشی (SPM) ۳۷
- ۳-۲ آنالیز ساختاری ۳۸
- ۱-۳-۲ روشهای مبتنی بر امواج الکترومغناطیسی ۳۸
- ۱-۳-۲-۱ طیف سنج پراش اشعه ایکس (XRD) ۳۹
- ۲-۳-۲ روشهای مبتنی بر الکترون ۴۵
- ۴-۲ روشهای تعیین اندازه و سطح ویژه ذرات ۴۵
- ۱-۴-۲ روشهای مبتنی بر نوترون ۴۵
- ۲-۴-۲ روشهای مبتنی بر امواج الکترومغناطیسی ۴۵
- ۱-۲-۴-۲ پخش نور با زاویه کوچک ۴۵
- ۳-۴-۲ روشهای مبتنی بر جذب سطحی ۴۶
- ۱-۳-۴-۲ آنالیز BET ۴۶
- ۴-۴-۲ روشهای مبتنی بر بار الکتریکی ۴۶
- ۵-۲ آنالیز حرارتی ۴۷
- ۱-۵-۲ گرماسنجی روبشی تفاضلی ۴۷
- ۲-۵-۲ کاربردهای DSC ۴۹

۴۹۲-۵-۱ تعیین دمای انتقال شیشه‌های
۵۰۲-۶ آنالیز عنصری
۵۰۲-۶-۱ روشهای مبتنی بر یون
۵۰۲-۶-۱-۱ طیف‌سنجی تخلیه نورانی (GDS)
۵۱۲-۶-۲ روشهای کلاسیک
۵۱۲-۶-۲-۱ آنالیز کلاسیک عناصر
۵۱۲-۶-۳ روشهای مبتنی بر الکترون
۵۱۲-۶-۳-۱ میکرون آنالیز پروب الکترونی (EPMA)
۵۱۲-۷ آنالیز مغناطیسی مواد
۵۱۲-۷-۱ مغناطیس‌سنج با نمونه نوسانی (VSM)
۵۸۲-۷-۲ پذیرفتاری مغناطیسی AC
۵۷۲-۸ اندازه‌گیری مقاومت

فصل سوم: روش‌های ساخت و مروری بر کارهای انجام‌گرفته

۶۰۳-۱ ساخت آلیاژها
۶۰۳-۱-۱ ذوب القایی تحت خلا
۶۱۳-۱-۱-۱ شرح فرایند
۶۴۳-۱-۱-۲ ساختمان کوره VIM
۶۸۳-۱-۱-۳ فرایند VIDP
۶۹۳-۱-۱-۴ مزایا و معایب VIM
۷۰۳-۱-۱-۵ موارد استفاده
۷۰۳-۱-۲ ذوب مجدد قوس الکتریکی در خلا (VAR)
۷۱۳-۱-۲-۱ تکنولوژی فرایند و مشخصات فرایند
۷۰۳-۱-۲-۲ مزایای VAR
۷۱۳-۱-۲-۳ کاربرد
۷۱۳-۲ آلیاژهای Ni-Mn-based

- ۳-۳ اثر اضافه کردن کبالت ۷۹
- ۳-۴ دیاگرام فاز آلیاژهای Ni-Co-Mn-Sn ۸۲
- ۳-۵ شیشه اسپینی ۸۷

فصل چهارم: مشخصه‌یابی آلیاژ $\text{Ni}_{43}\text{Mn}_{41}\text{Co}_5\text{Sn}_{11}$

- ۴-۱ آنالیز طیف پراش اشعه X ۹۲
- ۴-۲ آنالیز مغناطیسی نمونه ۹۰
- ۴-۳ آنالیز عنصری ۹۱
- ۴-۴ آنالیز پذیرفتاری مغناطیسی AC ۹۵
- ۴-۵ آنالیز میکروسکوپ الکترونی روبشی ۹۶
- ۴-۶ اندازه‌گیری مقاومت ۱۰۱
- ۴-۷ آنالیز گرماسنجی روبشی تفاضلی ۱۰۱
- ۴-۸ نتیجه‌گیری و پیشنهادات برای کارهای آینده ۱۰۱
- منابع و مراجع ۱۰۱

فهرست شکل‌ها

- ۱-۱ شمای کلی چگالی حالت‌های الکترونی نیمه‌فلزات در مقایسه با فلزات نرمال و نیمه‌رساناها.. ۴
- ۱-۲ ساختار کریستالی آلیاژهای هسلر ۶
- ۱-۳ انواع فازهای آلیاژهای حافظه‌دار شکلی..... ۱۵
- ۱-۴ ساختار مارتنزیت لغزشی (چپ) و جهتگیری واریانت‌ها..... ۱۵
- ۱-۵ اثر حافظه‌داری یک راهه..... ۱۸
- ۱-۶ تغییرات میکروساختاری در طی اثر حافظه‌داری دو راهه..... ۱۹
- ۱-۷ اثر حافظه‌دار شکلی در طول دو مسیر ۱۹
- ۱-۸ منحنی تجربی دما-تنش- کرنش آلیاژ حافظه‌دار NiTi..... ۲۴
- ۱-۹ منحنی تجربی برای یک چرخه بارگذاری شده شبه الاستیک همدم..... ۲۴
- ۱-۱۰ رفتار سوپرالاستیسیته..... ۲۶
- ۱-۱۱ منحنی تنش-کرنش برای NiTi در دماهای مختلف ۲۷
- ۱-۱۲ عملکرد یک بست حافظه‌دار قبل (چپ) و بعد از بازیابی شکل اولیه (راست)..... ۲۸
- ۱-۱۳ مسدودکننده سوراخ دیواره بطنی..... ۳۰
- ۱-۱۴ شکل هندسی تغییرپذیر بویئنگ..... ۳۱
- ۲-۱ پراش پرتو X توسط یک بلور..... ۳۱
- ۲-۲ پهنای پیک در نصف ارتفاع..... ۴۰
- ۲-۳ نمایش ایده‌آل سه مرحله قابل مشاهده با کمک DSC..... ۴۱
- ۲-۴ تعیین T_g به دو روش (الف) و (ب)..... ۴۸
- ۲-۵ شماتیک از پیکربندی روش چهار نقطه پروب..... ۵۸
- ۳-۱ شماتیک یک کوره VIM..... ۶۱
- ۳-۲ تاثیر زمان نگهداری در خلا بر میزان کاهش ناخالصی‌های مضر..... ۶۳
- ۳-۳ شماتیک کلی کوره VIDP..... ۶۶
- ۳-۴ شماتیک کلی کوره‌های VAR..... ۶۹

- ۳-۵ دیاگرام فاز $Ni_2Mn_{1+x}In_{1-x}$ و $Ni_2Mn_{1+x}Sn_{1-x}$ ۷۲
- ۳-۶ ساختار NM (چپ)-ساختار 10M (وسط)-ساختار 14M (راست) ۷۳
- ۳-۷ تغییرات ساختار کریستالی Ni-Mn-Sn ۷۴
- ۳-۸ انتقال فاز ناشی از اعمال میدان مغناطیسی ۷۴
- ۳-۹ منحنی M بر حسب H در ماده متامغناطیس ۷۵
- ۳-۱۰ الگوی پراکندگی نوترون در آلیاژهای (a) $Ni_{50}Mn_{33}Sn_{17}$ (b) $Ni_{45}Co_5Mn_{33}Sn_{17}$ ۷۸
- ۳-۱۱ دماهای مشخصه انتقال فاز بر حسب میزان Co در آلیاژهای $Ni_{43}Mn_{46-x}Co_xSn_{11}$ (x=0-5) ۷۹
-(5) ۷۹
- ۳-۱۲ دیاگرام فاز آلیاژهای $Ni_{50-x}Co_xMn_{39}Sn_{11}$ ($0 \leq x \leq 10$) ۸۰
- ۳-۱۳ وابستگی دمایی مغناطش و مقاومت در آلیاژ $Ni_{43}Mn_{41}Co_5Sn_{11}$ ۸۰
- ۳-۱۴ منحنی‌های مغناطش برای آلیاژ $Ni_{43}Mn_{41}Co_5Sn_{11}$ از دمای ۲۸۰ تا ۲۹۹ کلوین ۷۲
- ۳-۱۵ وابستگی دمایی ΔS_M برای آلیاژهای $Ni_{43}Mn_{46-x}Co_xSn_{11}$ (x=0-5) ۷۳
- ۳-۱۶ وابستگی دمایی قسمت حقیقی پذیرفتاری آلیاژ $Ni_{43.5}Co_{6.5}Mn_{39}Sn_{11}$ ۸۶
- ۴-۱ پراش پرتو ایکس در دمای اتاق ۸۹
- ۴-۲ پراش پرتو ایکس از $Ni_{43}Mn_{41}Co_5Sn_{11}$ در دماهای بالاتر ۹۰
- ۴-۳ منحنی پسماند آلیاژ در میدان‌های بزرگ (چپ)- در میدان‌های کوچک (چپ) ۹۰
- ۴-۴ مسیر EDX گرفته شده (چپ)- نوسان عناصر در این مسیر (راست) ۹۱
- ۴-۵ منحنی EDX و درصد دقیق اتمی و جرمی آلیاژ $Ni_{43}Mn_{41}Co_5Sn_{11}$ ۹۲
- ۴-۶ EDX از صفحات تاریک ۹۳
- ۴-۷ EDX از صفحات روشن ۹۳
- ۴-۸ صفحات تاریک و روشن ۹۳
- ۴-۹ قسمت حقیقی پذیرفتاری مغناطیسی بر حسب دما و منحنی مشتق آن ۹۶
- ۴-۱۰ تصاویر SEM از نمونه پولیش داده شده و اچینگ شده در بزرگنمایی مختلف ۹۷
- ۴-۱۱ نمودار مقاومت آلیاژ بر حسب دما طی فرایندهای سرمایش و گرمایش ۹۸
- ۴-۱۲ نمودار DSC تحت فرایند گرمایش ۹۹

فهرست جداول

- ۱-۱ عناصر آلیاژهای هسلر- ساختار مغناطیسی و کریستالی آلیاژها..... ۷
- ۳-۱۲ تفاوت مغناطش اشباع با اضافه کردن Co..... ۷۶
- ۴-۱ درصد اتمی عناصر در صفحات تاریک و روشن..... ۹۴

فصل اول:

آلیاژهای حافظه‌دار شکلی

موادی که باعث سازش با محیط خود می‌شوند مواد محرک نامیده می‌شوند، این مواد می‌توانند شکل، سفتی، مکان، فرکانس طبیعی، و سایر مشخصات مکانیکی را در پاسخ به دما و یا میدان‌های الکترومغناطیسی تغییر دهند. امروزه پنج نوع ماده محرک به طور عمده استفاده می‌شوند که آلیاژهای حافظه‌دار شکلی^۱ جزئی از این مواد هستند. این مواد از زمره مواد هوشمند محرک می‌باشند. مواد هوشمند نیز آن دسته از موادی هستند که می‌توانند به تغییرات محیط به بهترین شکل ممکن پاسخ داده و رفتار خود را نسبت به تغییرات تنظیم نمایند.

یکی از خواص آلیاژهای هسلر هم خاصیت حافظه داری شکلی آن‌هاست و آنها نیز جزئی از آلیاژهای حافظه‌دار هستند.

به دلیل عدم آشنایی صنعت با تکنولوژی آلیاژهای حافظه‌دار استفاده از این محرک هنوز به رشد لازم نرسیده است. اما مراکز علمی جهت فهم مکانیزم و خواص این‌گونه محرک‌ها در حال انجام تحقیقات گسترده‌ای هستند که کشور ژاپن پیشرو در این زمینه می‌باشد و تاکنون بیش از ۱۰۰ مقاله درباره این گونه آلیاژها ارائه کرده است.

در این فصل مروری بر آلیاژهای هسلر و آلیاژهای حافظه‌دار شکلی و خواص آن را داریم و در ادامه برخی از کاربردهای این آلیاژها را ذکر می‌کنیم.

۱-۲ آلیاژهای هسلر^۲

آلیاژهای هسلر ترکیبات فلزی معمولاً سه‌تایی هستند که به‌وسیله‌ی، فردریش هسلر^۳ در سال ۱۸۹۸

کشف شدند. یک شیمی‌دان و مهندس معدن آلمانی در سال ۱۹۰۳ کشف کردند که آلیاژ Cu-Mn-Al

¹ Shape memory alloys

² Hesler alloys

فرومغناطیس است اگر چه این آلیاژ شامل المان‌های غیرمغناطیسی است، این آلیاژها دارای مغناطش اشباع و دمای کوری بالا است [۱].

اخیرا آلیاژهای هسلر از لحاظ آزمایشگاهی و تئوری، به دلیل خواص منحصر به فرد خود از جمله رفتار نیمه فلزی و بعضی اثر حافظه دار شکلی مغناطیسی و اثر مگنتو کالری توجه زیادی بخود جلب کرده اند. در این آلیاژها نفوذپذیری مغناطیسی یک جسم مغناطیسی می تواند افزایش و تلفات هسترسیس کاهش یابد. تعداد زیادی از این آلیاژها در دمای اتاق فرومغناطیس هستند در یک موارد کمی، آنتی- فرومغناطیس هستند.

امروزه دو دسته از مواد هسلر هستند که در ادامه توضیح داده خواهد شد.

نیمه فلزات^۴

در اوایل دهه ۱۹۸۰، ر.ب. د. گروپ^۵ و همکارانش زمانی که ساختار باند مواد مغناطیسی بر پایه فازهای کریستالی Cl_b و $L2_1$ را مطالعه می کردند، یک طبقه از مواد مغناطیسی با ساختار الکترونی غیر معمول به نام نیمه فلزات را کشف کردند.

مشخصه این مواد وجود همزمان رفتار فلزی برای یک نوع اسپین الکترونی و رفتار عایق برای نوع دیگر است. بنابراین چگالی حالت‌های الکترونی^۶ (DOS) در سطح فرمی کاملا پلاریزه اسپینی است و بخش عمده رسانندگی توسط این حامل‌های بار تک اسپینی فلزی صورت می گیرد.

یکی دیگر از مشخصات مواد نیم فلزی، یک عدد صحیح به عنوان مقدار ممان مغناطیسی است. در یک ماده فرومغناطیس متعارف به دلیل برهم کنش‌های تبادلی، نوارهای انرژی نسبی برای اسپین‌های اکثریت (up) و اقلیت (down) در سطح فرمی E_f جابه جا شده اند که نشان دهنده تعداد نامساوی از

³ Friedrich Heusler

⁴ Half metals

⁵ Rob de Groot

⁶ Density of state

الکترون‌های با اسپین بالا ($n \uparrow$) و با اسپین پایین ($n \downarrow$) است در نتیجه برای یک ماده فرومغناطیسی‌ای به شکل زیر تعریف می‌شود. M مغناطش در واحد فرمول و μ_B مگنتون بوهر نامیده می‌شود.

$$M = \mu_B (n \uparrow - n \downarrow) \quad \text{به ازای هر واحد فرمولی (۱-۱)}$$

یعنی در ترکیبات نیم‌فلزی استوکیومتری شده، گاف انرژی بین کانال‌های اسپینی نشان دهنده کوانتس ممان مغناطیسی است.

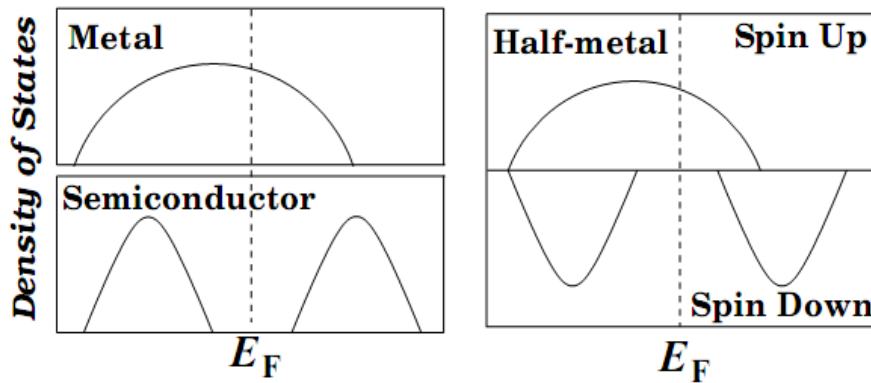
$$\frac{N \downarrow (E_f)}{N \uparrow (E_f)} \quad \text{قدرت خاصیت نیم‌فلزی، به صورت نسبت DOS اقلیت به اکثریت در تراز فرمی یعنی}$$

تعریف می‌شود که برای یک نیم‌فلز ایده‌آل، برابر صفر است.

پلاریزاسیون اسپینی در E_f در حالت ایده‌آل باید ۱۰۰ درصد باشد که به صورت زیر تعریف می‌-

شود. [۲]

$$P = \frac{N \uparrow (E_f) - N \downarrow (E_f)}{N \uparrow (E_f) + N \downarrow (E_f)} \quad (۲-۱)$$



شکل ۱-۱: شمای کلی چگالی حالت‌های الکترونی نیمه‌فلزات در مقایسه با فلزات نرمال و نیمه‌رساناها

۱-۲-۱ هسلر کامل^۷

یک دسته از آلیاژهای هسلر، هسلر کامل هستند که دارای فاز کریستالی $L2_1$ هستند و غالباً به صورت X_2YZ دیده می‌شوند که X و Y عناصر واسطه و Z عناصر sp هستند و خواص مغناطیسی این آلیاژها از ممان مغناطیسی روی اتم‌های فلز واسطه در مکان X و Y ناشی می‌شود. ماکسیمم ممان مغناطیسی این خانواده $5/8 \mu_B$ است [۲۱].

در این آلیاژها، ممان مغناطیسی اسپینی کل با رابطه $M_T = Z_T - 24$ هماهنگی دارد که Z_T برابر با مجموع الکترون‌های با اسپین بالا و پایین است.

ساختار $L2_1$ شامل چهار زیرشبکه fcc نفوذ کرده با مکان‌های $(0,0,0)$ ، $(1/2, 1/2, 1/2)$ و $(1/2, 1/2, 1/2)$ برای اتم-های X ، $(1/4, 1/4, 1/4)$ و $(1/4, 1/4, 1/4)$ برای اتم Y و $(3/4, 3/4, 3/4)$ برای اتم Z است که ساختار این آلیاژها و مکان اتم‌های آن در شکل (۲-۱) نشان داده شده است. α ثابت شبکه است.

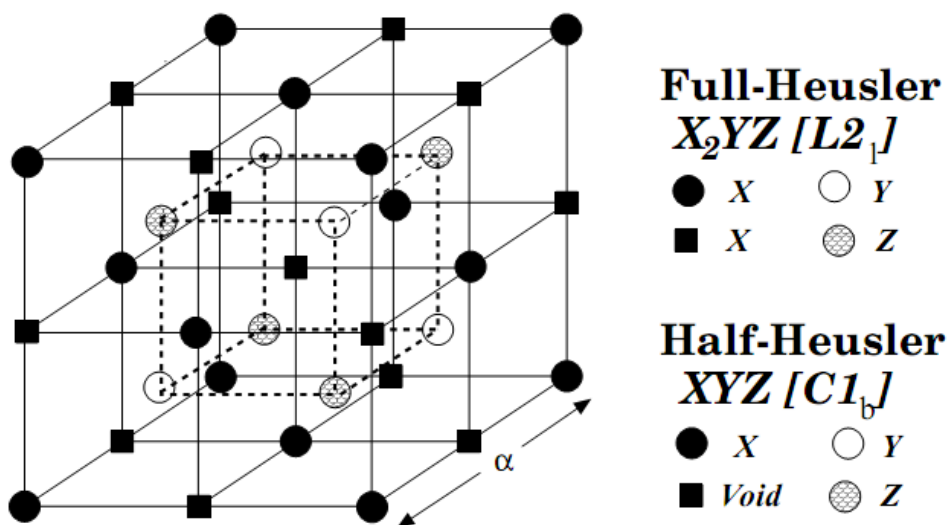
۱-۲-۲ نیمه هسلر

دسته دوم از آلیاژهای هسلر، نیمه هسلرها هستند. این آلیاژها بصورت XYZ هستند و در ساختار Cl_B کریستالی می‌شوند. ماکسیمم مقدار ممان مغناطیسی این خانواده $5 \mu_B$ است و ممان مغناطیسی این آلیاژها، با رابطه $M_T = Z_T - 18$ مطابقت دارد. این مواد، فرومگنت‌های قوی و دارای گاف نواری اسپین اقلیتی بزرگ هستند.

اگر در ساختار $L2_1$ یکی از چهار شبکه fcc که مربوط به مکان‌های X را بصورت اشغال نشده رها کنیم همان ساختار Cl_B به دست می‌آید.

⁷ Full-husler

برخی آلیاژهای هسلر کامل و نیمه هسلر سه تایی و ساختار مغناطیسی و کریستالی آنها در جدول (۱) -۱ بیان شده است، FM, AFM, PM به ترتیب نشان دهنده فرومغناطیس و آنتی فرومغناطیس و پارامغناطیس است. وقتی در ساختار $L2_1$ ، نیمی از اتمهای Y و Z مکان هایشان را عوض کنند ساختار B_2 به دست می آید که این رفتار وابسته به شرایط گرمایی است [۱].



شکل (۱-۲): ساختار کریستالی آلیاژهای هسلر [۱]

جدول ۱-۱: عناصر آلیاژهای هسلر- ساختار مغناطیسی و کریستالی آلیاژها [۲]

Y	X	Z	Magnetic order	Crystal structure
V	Mn	Al,Ga	FM	L2 ₁
	Fe	Al,Ga	FM	L2 ₁
	Fe	Si	PM	L2 ₁
	Co	Al,Ga,Sn	FM	L2 ₁
Cr	Co	Al,Ga	FM	L2 ₁
	Fe	Al,Ga	FM	L2 ₁
Mn	Cu	Al,In,Sn	FM	L2 ₁
	Cu	Sb	AFM	Cl _b
	Ni	Al	AFM	B ₂
	Ni	Sb	FM	Cl _b
	Ni	Al,Ga,In,Sn,S	FM	L2 ₁
	Co	b	FM	L2 ₁
	Co	Al,Si,Ge,Sn	FM	Cl _b
	Fe	Sb	FM	L2 ₁
	Pd	Al,Si	AFM	B ₂
	Pd	Al	AFM	L2 ₁
	Pd	In	FM	L2 ₁
	Pd	Sn,Sb	FM	Cl _b
	Pd	Sb	AFM	Cl _b
	Rh	Te	FM	B ₂
	Rh	Al,Ga,In	FM	L2 ₁
	Rh	Ge,Sn,Pb	FM	Cl _b
	Ru	Sb	FM	Cl _b
	Au	Ga	AFM	B ₂
	Au	Zn,Cu	AFM	L2 ₁
	Au	Al,Ga,In	FM	Cl _b
Pt	Sb	AFM	L2 ₁	
Pt	Al,Ga	FM	Cl _b	
Ir	Ga	AFM	L2 ₁	
Ir	Al	AFM	Cl _b	
		Ga		
Fe	Fe	Al,Si	FM	DO ₃
	Co	Al,Si,Ga	FM	L2 ₁
Co	Fe	Ga	FM	L2 ₁
Ni	Fe	Al,Ga	PM	L2 ₁

۳-۱ مواد هوشمند

مواد هوشمند موادی هستند که توسط توابعی خاص به عواملی نظیر دما، میدان مغناطیسی، نور، pH، تنش و کرنش و ... مرطبتند.

- مواد پیزو الکتریک: این مواد با دریافت تنش، ولتاژ تولید می کنند و بر عکس. به بیانی دیگر با دریافت ولتاژ مشخصی تنش متناسبی در نمونه ایجاد خواهد شد اکثر این مواد می توانند به طور مختلف طراحی شوند، مثلاً با تغییر ولتاژ، قطعه خم می شود یا منقبض شوند.

- مواد ترموپوزیتو^۸: این مواد در دماهای مختلف اشکال هندسی مشخصی به خود می گیرند فلزات حافظه دار یا پلیمرهای حافظه دار از این دسته اند مثلاً آلیاژهای حافظه دار شکلی همان فلزاتی هستند که شکل اولیه خود را به خاطر می آورند این خصوصیات به دلیل استحاله وابسته به دما از ساختار کریستالوگرافی تقارن کم به تقارن زیاد فاز آستنیت است. سه نوع اصلی آلیاژها عبارتند از: Ni-Ti, Ni-Al-Cu, Al-Zn-Cu.

- مواد حافظه دار مغناطیسی: این مواد با تغییرات مشخصی از میدان مغناطیسی شکل خود را تغییر می دهند.

- مواد هالوکرومیک: این مواد با تغییر اسیدیته یا pH از خود تغییر رنگ نشان می دهند.
- مواد فوتوکرومیک: موادی که با تغییر شدت نور، رنگ خود را تغییر می دهد.
- نانولوله های کربنی: نانو لوله، یکی از مقاوم ترین مواد ساخت بشر است که مقاومت مکانیکی و مدول الاستیسیته بالایی دارد. مقاومت مکانیکی ۶۳ گیگا پاسکال و مدول الاستیسیته یک تراپاسکال در قیاس با فولادهای با مقاومت مکانیکی بالا (1/25 Pa) تا مل برانگیز است.

- سیال هوشمند: خصوصیات این سیال نظیر لزجت با قرارگیری در میدان الکتریکی یا مغناطیسی تغییر می کند.

⁸Thermopositive